

3 dimenziós D-szimbólumok és a Thurston-sejtés

Boróczki Lajos

2011. október 25.

D-szimbólum felépítése

Példa

Lehetséges D-szimbólumok

Feltételek

Rész D-szimbólum

D-szimbólumok felsorolása

Éltranzitív kövezések

Splitting probléma és a Thurston-sejtés (támadása)

D-szimbólum
felépítése

Példa

Lehetséges
D-szimbólumok

Feltételek

Rész D-szimbólum

D-szimbólumok
felsorolása

Éltranzitív
kövezések

Splitting probléma
és a
Thurston-sejtés
(támadása)

D-szimbólum, mint új nyelvezet

3 dimenziós
D-szimbólumok és
a Thurston-sejtés

Boróczki Lajos

- ▶ Kompakt alaptartományú kövezés baricentrikus felbontása
- ▶ Szomszédsági operációk
Jelölés:
 $\sigma_0: \cdots \cdots \cdots$, $\sigma_1: - - - -$, $\sigma_2: \text{————}$, $\sigma_3: - \cdot - \cdot - \cdot$
- ▶ Egybevágóság csoport szerinti szimplex pályák halmaza
- ▶ $(d - 2)$ -lap körüli szimplex pályák.
- ▶ Egyértelműség: A baricentrikus felbontásban csak az alaptartomány csúcspontjaihoz tartozó szimplex csúcsok lehetnek végtelen távoli pontok, ezért minden kövezés leírható D-szimbóllummal és ez permutáció erejéig egyértelmű. FIXME: Miért nem foglalkozunk azzal az esettel, amikor egy egész él végtelen távol van?

D-szimbólum
felépítése

Példa

Lehetséges
D-szimbólumok

Feltételek

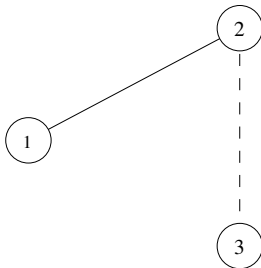
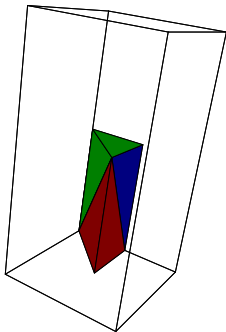
Rész D-szimbólum

D-szimbólumok
felsorolása

Éltranzitív
kövezések

Splitting probléma
és a
Thurston-sejtés
(támadása)

Az \mathbb{E}^3 tér négyzetes hasábbal történő egyik legegyszerűbb térkitöltése. Baricentrikus felbontása és a szimplex pályákhoz tartozó multigráf:



D-szimbólum
felépítése

Példa

Lehetséges
D-szimbólumok

Feltételek

Rész D-szimbólum

D-szimbólumok
felsorolása

Éltranzitív
kövezések

Splitting probléma
és a
Thurston-sejtés
(támadása)

A mátrixfüggvények (\mathcal{D} a szimplex pályák halmaza, $D_i \in \mathcal{D}$):

$$\mathcal{R}(D_1) = \begin{pmatrix} 1 & 1 & 2 & 1 \\ 1 & 1 & 3 & 1 \\ 2 & 3 & 1 & 2 \\ 1 & 1 & 2 & 1 \end{pmatrix}$$

$$\mathcal{R}(D_2) = \begin{pmatrix} 1 & 2 & 2 & 1 \\ 2 & 1 & 3 & 2 \\ 2 & 3 & 1 & 2 \\ 1 & 2 & 2 & 1 \end{pmatrix}$$

$$\mathcal{R}(D_3) = \begin{pmatrix} 1 & 2 & 1 & 1 \\ 2 & 1 & 3 & 2 \\ 1 & 3 & 1 & 1 \\ 1 & 2 & 1 & 1 \end{pmatrix}$$

$$\forall D_i \in \mathcal{D} : \mathcal{M}(D_i) = \begin{pmatrix} 1 & 4 & 2 & 2 \\ 4 & 1 & 3 & 2 \\ 2 & 3 & 1 & 4 \\ 2 & 2 & 4 & 1 \end{pmatrix}$$

3 dimenziós
D-szimbólumok és
a Thurston-sejtés

Boróczki Lajos

D-szimbólum
felépítése

Példa

Lehetséges
D-szimbólumok

Feltételek

Rész D-szimbólum

D-szimbólumok
felsorolása

Éltranzitív
kövezések

Splitting probléma
és a
Thurston-sejtés
(támadása)

További követelmények a rész D-szimbólumok alapján:

1. $(\Sigma_I^1, \mathcal{D}^1, \mathcal{M}^1)$ és $(\Sigma_I^2, \mathcal{D}^2, \mathcal{M}^2)$ esetén a görbületi függvény pozitív és a jó orbifold feltétel teljesül
2. $(\Sigma_I^0, \mathcal{D}^0, \mathcal{M}^0)$ és $(\Sigma_I^3, \mathcal{D}^3, \mathcal{M}^3)$ esetén a görbületi függvény pozitív és a jó orbifold feltétel teljesül, vagy a görbületi függvény 0

D-szimbólumok felsorolása:

- ▶ Nagyravágyó terv
- ▶ Alapvetően nem tűnik lehetetlennek
- ▶ Nagyon sok lehetőség van
- ▶ Rendezés a D-diagramokon, algoritmus a felsorolásukra
- ▶ Rendezés a mátrix-függvényeken, 3-dimenziós esetben algoritmus a lehetséges mátrix-függvények felsorolására
- ▶ A 12 elemszámú D-szimbólumokat tudjuk jelenleg felsorolni.

D-szimbólum
felépítése

Példa

Lehetséges
D-szimbólumok

Feltételek

Rész D-szimbólum

D-szimbólumok
felsorolása

Éltranzitív
kövézések

Splitting probléma
és a
Thurston-sejtés
(támadása)

Éltranszítív kövezések kezelése D-szimbólummal

- ▶ Egyszerű új feltétel: a diagramban nem lehet 1-es színű (szaggatott) él
- ▶ A lehetséges diagramok végigpróbálgatása egyszerűbbé válik
- ▶ 18-as elemszámig jutottunk, és ismert, hogy legfeljebb 24 elemszámú ilyen diagramok lehetségesek.

Thurston sejtés:

- ▶ Minden irányított, primitív, zárt 3-sokaság felvágható (splitting) tórusz (E^2) felületek mentén úgy, hogy a kapott sokaságok belsejének geometriai struktúrája van, melynek véges a térfogata.
- ▶ A következő 8 féle maximális modell-geometria létezik, amihez van kompakt sokaság, ami az adott geometriában modellezhető: S^3 , E^3 , H^3 , $S^2 \times R$, $H^2 \times R$, $\widetilde{SL2R}$, Sol, Nil.

Megjegyzések:

- ▶ A nem irányítható eset kezelhető az „irányítható dupla fedés” módszerrel, ami az M sokasághoz rendelt $M \times Z/2Z$ sokaság (értelmes visszahúzó operációval).
- ▶ A 2 dimenziós analógia: minden határ nélküli felületnek (2-sokaságnak) geometriai struktúrája van, konstans görbületű metrikával.

Splitting keresése D-szimbólumban

- ▶ S^2 jellegű splitting: Ponttá zsugorítható részlet a kövezésben, ezáltal kevesebb szimplex-pályából álló kövezéssel ekvivalenset kapunk. (Rossz orbifold probléma itt is felléphet.)
FIXME Rajz
- ▶ E^2 splitting: A Thurston sejtés-beli splittingnek megfelelő dolog. Végtelen távoli pontba tolható.
FIXME Rajz

